

Mikrohullámú impedancia (admittancia) inverterek analízise

ETO: 621.372.51.029.6

A mikrohullámú impedancia (admittancia) inverter realizációk helyettesítő képei távvezetékszszakokból és reaktáns, koncentrált paraméterű elemekből felépített szimmetrikus hálózatok. A dolgozatban az így felépített hálózatok analizálásával foglalkozunk. Az analízis célja: az inverter paraméterének és a hálózat kapcsolási paramétereinek kapcsolatát leíró egyenletek meghatározása. Ezek ismeretében megadjuk az alapkapsolásokhoz tartozó elvileg lehetséges megoldásokat és az egyes megoldások tulajdonságát a frekvenciatartományban.

Bevezetőül meghatározzuk az inverter feltételi egyenleteit és megszerkesztjük karakterisztikus vektorábráit. Ezt követően az impedancia, majd az admittancia-invertereket analizáljuk.

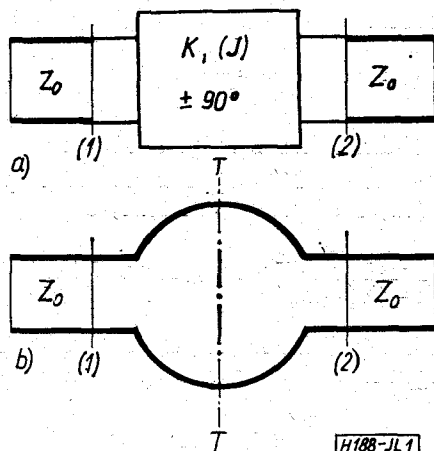
Az inverterek gyakorlati alkalmazásával és mikrohullámú realizációjával nem foglalkozunk. Ezzel kapcsolatban csupán a szakirodalomra hivatkozunk: [1]–[9].

Az inverter feltételi egyenletei és karakterisztikus vektorábrái

Mint ismeretes, impedancia-(admittancia-) inverternek nevezzük azokat a szimmetrikus, reciprok és reaktáns kétkapus passzív szerkezeteket (1. ábra), amelyek a terhelő Z_t impedanciát

$$Z_{be} = \frac{K^2}{Z_t} \quad (1)$$

Beérkezett: 1972. VIII. 31-én.



1. ábra a) A $K(J)$ paraméterű impedancia-(admittancia-) inverter ábrabeli jelölése
b) Az inverter mikrohullámú realizációjának sematikus ábrázolása

bemeneti impedanciába, illetve a terhelő Y_t admittanciát

$$Y_{be} = \frac{J^2}{Y_t} \quad (2)$$

bemeneti admittanciába transzformálják és $\varphi_{12} = \pm \pi/2$ fázistolást okoznak. Az (1) egyenlettel definiált K mennyiség ohm-dimenziójú valós szám; az impedancia inverter paramétere. A (2) egyenlettel definiált J mennyiség 1/ohm dimenziójú valós szám; az admittancia inverter paramétere. Az ideális inverter fázistolása és paramétere frekvencia-üggetlen.

Az (1), (2) definíciós egyenletekből következik, hogy a K paraméterű impedancia-inverter realizációk egyben a

$$J = \frac{1}{K} \quad (3)$$

paraméterű admittancia inverternek is realizációi és viszont.

A felvételi egyenletek meghatározásához az inverter S szórási mátrixának $S_{ij} = |S_{ij}| \exp(j\varphi_{ij})$ mátrixelemeiből indulunk ki. Az S_{ii} mátrixelemek fizikai jelentése és az S_{ij} mátrixelemekre vonatkozó kötések alapján írható, hogy a K paraméterű impedancia-inverter szórási mátrixának elemei:

$$S_{11} = S_{22} = \frac{Z_{be} - Z_0}{Z_{be} + Z_0} \Big|_{Z_t = Z_0} = \frac{K'^2 - 1}{K'^2 + 1} \quad (4)$$

$$S_{12} = S_{21} = \pm j \sqrt{1 - |S_{11}|^2} e^{j\varphi_{11}} = \frac{2K'}{K'^2 + 1} e^{\pm j\varphi_{12}} \quad (5)$$

ahol K' az impedancia inverter normalizált paramétere:

$$K' = \frac{K}{Z_0} \quad (6)$$

Az impedancia-inverter szórási mátrixának s_i ($i=1, 2$) sajátértékei:

$$s_1 = S_{11} + S_{12} = \frac{(K'^2 - 1) \pm j2K'}{K'^2 + 1} = e^{j\varphi_1} \quad (7)$$

$$s_2 = S_{11} - S_{12} = \frac{(K'^2 - 1) \mp j2K'}{K'^2 + 1} = e^{j\varphi_2} \quad (8)$$

Az s_i sajátértékek segítségével meghatározhatók az inverter Z' normalizált impedancia mátrixának z'_i sajátértékei és Y' normalizált admittancia mátrixának y'_i saját értékei:

$$z'_1 = \frac{1 + s_1}{1 - s_1} = jX'_1 = \pm jK' \quad (9)$$

$$z'_2 = \frac{1+s_2}{1-s_2} = jX'_2 = \mp jK' \quad (10)$$

$$y'_1 = \frac{1-s_1}{1+s_1} = jB'_1 = \mp jJ' \quad (11)$$

$$y'_2 = \frac{1-s_2}{1+s_2} = jB'_2 = \pm jJ'. \quad (12)$$

A (11), (12) egyenletekben célszerűen $1/K' = J'$ helyettesítéssel éltünk. J' az admittancia inverter normalizált paramétere: $J' = J Z_0 = J/Y_0$.

A (9), (10) egyenletekből:

$$X'_1(\omega) = -X'_2(\omega) \quad (13)$$

a (11), (12) egyenletekből pedig

$$B'_1(\omega) = -B'_2(\omega) \quad (14)$$

következik. A fenti egyenletekben ω a frekvenciától való függést jelöli. A (13) egyenletet az impedancia, a (14) egyenletet pedig az admittancia inverter feltéti egyenletének nevezzük. Az inverter feltéti egyenletei függetlenek az inverter paraméterétől, a $\varphi_{12}(\omega) = \pm\pi/2$ fázistolásra adott előírásból következnek.

A hálózatok analizésénél első lépésben a fenti feltéti egyenletekből indulunk ki. E feltételeknek eleget tevő hálózatok fázistolása $\varphi_{12}(\omega) = \pm\pi/2$, és a (9), (10) egyenletek alapján

$$K'(\omega) = |X'_1(\omega)| = |X'_2(\omega)| \quad (15)$$

paraméterű impedancia, illetve

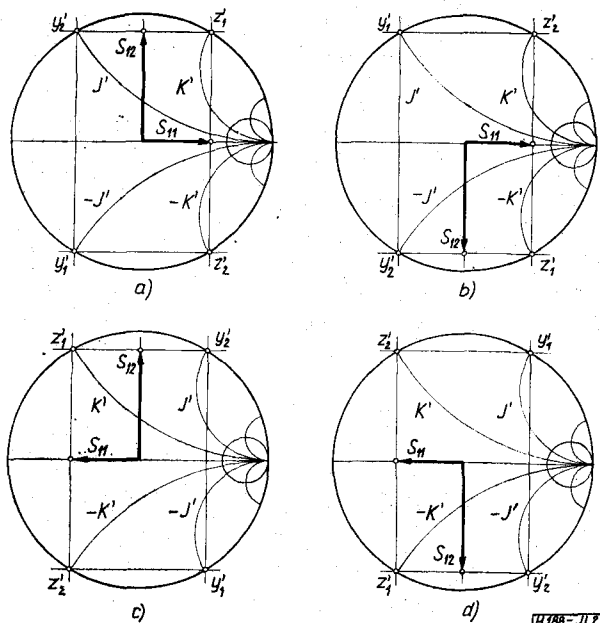
$$J'(\omega) = |B'_1(\omega)| = |B'_2(\omega)| \quad (16)$$

normalizált paraméterű admittancia inverter.

A továbbiak szempontjából lényeges annak megállapítása, hogy a Foster-tétel és a (13)–(16) egyenletek alapján:

1. $K(\omega) = \text{állandó}$ [$J(\omega) = \text{állandó}$], azaz frekvencia független paraméterű inverter elvileg nem realizálható.
2. $\varphi_{12}(\omega) = \pm\pi/2$, azaz frekvencia független fázistolású inverter csak pozitív kapcsolási elemekből felépített hálózatokkal elvileg nem realizálható.
3. Annak szükséges (de nem elégséges) feltétele, hogy $\varphi_{12}(\omega) = \pm\pi/2$ legyen az, hogy a hálózat tartalmazzon valamilyen negatív kapcsolási elemet.

Az inverter karakterisztikus vektorábráit [10] a (7)–(12) egyenleteknek a poláris impedancia-(admittancia-) diagramon való ábrázolása adja. Mivel az elvileg lehetséges esetek: $K' \geq 1$; ($J' \leq 1$); $\varphi_{12} = \pm\pi/2$, az inverterhez elvileg négy lehetséges karakterisztikus vektorábra tartozik (2. ábra). A szimmetrikus hálózat karakterisztikus vektorábráit egybevetve az inverter karakterisztikus vektorábráival, az analízis számos feladata megoldható egyszerű grafikai módszerekkel is. A dolgozatban ezzel a lehetőséggel csupán hallgatólagosan élünk, néhány paraméter meghatározásánál és a megoldások helyességének ellenőrzésénél.



2. ábra. Az Impedancia-(admittancia-) inverter karakterisztikus vektorábrái

Impedancia inverterek

A mikrohullámú inverter realizációk helyettesítő képei közül azokat, amelyeknek analízise a z'_i sajátértékek segítségével egyszerűbb, mint az y'_i sajátértékekkel, impedancia inverternek nevezzük. Ilyenek például a 3. ábrán látható hálózatok. A továbbiakban ezeket analizáljuk.

A távvezeték szakaszokkal bővített szimmetrikus T-tag (3b ábra) Z' normalizált impedancia mátrixának sajátértékei:

$$z'_1 = j \frac{(X'_a + 2X'_b) + \text{tg } \Phi}{1 - (X'_a + 2X'_b) \text{tg } \Phi} = jX'_1 \quad (17)$$

$$z'_2 = j \frac{X'_a + \text{tg } \Phi}{1 - X'_a \text{tg } \Phi} = jX'_2, \quad (18)$$

ahol Φ az l hosszúságú távvezeték szakaszok elektromos hossza.

$$\Phi = \frac{l}{V_p} \omega \quad (19)$$

V_p a hullám fázissebessége a távvezetéken.

Behelyettesítve X'_1, X'_2 értékét az impedancia inverter (13) feltéti egyenletébe, a

$$\frac{(X'_a + 2X'_b) + \text{tg } \Phi}{1 - (X'_a + 2X'_b) \text{tg } \Phi} = -\frac{X'_a + \text{tg } \Phi}{1 - X'_a \text{tg } \Phi} \quad (20)$$

összefüggésre jutunk. A (10) és (18), valamint a (9) és (17) egyenletek egybevetése alapján:

$$\frac{X'_a + \text{tg } \Phi}{1 - X'_a \text{tg } \Phi} = \mp K' \quad (21)$$

$$\frac{(X'_a + 2X'_b) + \text{tg } \Phi}{1 - (X'_a + 2X'_b) \text{tg } \Phi} = \pm K'. \quad (22)$$

A fenti egyenletekben K' előjelét a $\varphi_{12} = \pm \pi/2$ fázistolás előjele határozza meg.

A távvezeték szakaszok Φ elektromos hosszát a továbbiakban célszerűen független változónak tekint-

jük. Rögzített l esetén ugyanis $\Phi = \Phi(\omega)$ és a frekvencia növelésével Φ abszolút értéke nő. Ennek alapján a koncentrált paraméterű reaktanciák jellege könnyen meghatározható.

A (20)–(22) feltételi egyenleteket rögzített ω_0 frekvencián elvileg végtelen sok kapcsolás kielégíti. A továbbiakban célszerűen az $\varphi_{12}(\omega) = \pm \pi/2$; $K'(\omega) =$ állandó előírásokat kielégítő $X'_a(\Phi)$, $X'_b(\Phi)$ reaktanciákat határozzuk meg.

$\varphi_{12}(\omega) = \pi/2$ esetén a (20)–(22) feltételi egyenletrendszer megoldásaként:

$$X'_a = -\frac{K' + \operatorname{tg} \Phi}{1 - K' \operatorname{tg} \Phi} \quad (23)$$

$$X'_b = K' \frac{1 + \operatorname{tg}^2 \Phi}{1 - (K' \operatorname{tg} \Phi)^2} \quad (24)$$

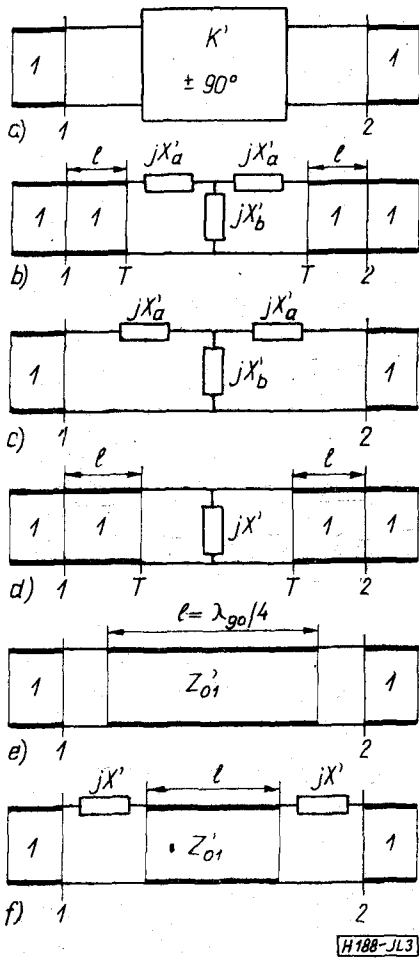
Az $X'_a(\Phi)$, $X'_b(\Phi)$ reaktanciák jellegzetes menetét és jellegét, $K' > 1$ esetén, a 4. ábrán tüntettük fel. A vizsgált $-\pi/2 < \Phi < \pi/2$ intervallumban elvileg öt különböző megoldás lehetséges. $K' \leq 1$ esetén az s_1 saját érték fázisösszege: $\varphi_1 \approx \pi/2$. Az elvileg lehetséges megoldások száma nem változik. A reaktanciák jellege azonban $\varphi = -\pi/4$ környezetében C ; C helyett L ; L .

$\varphi_{12}(\omega) = -\pi/2$ esetén:

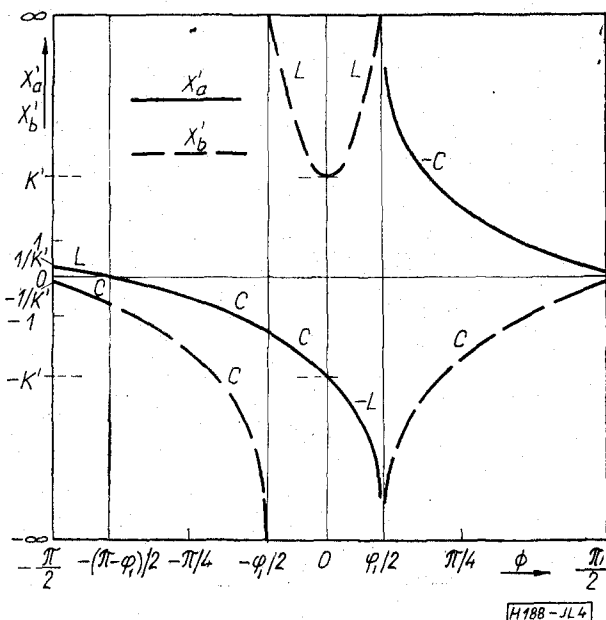
$$X'_a = \frac{K' - \operatorname{tg} \Phi}{1 + K' \operatorname{tg} \Phi} \quad (25)$$

$$X'_b = -K' \frac{1 + \operatorname{tg}^2 \Phi}{1 - (K' \operatorname{tg} \Phi)^2} \quad (26)$$

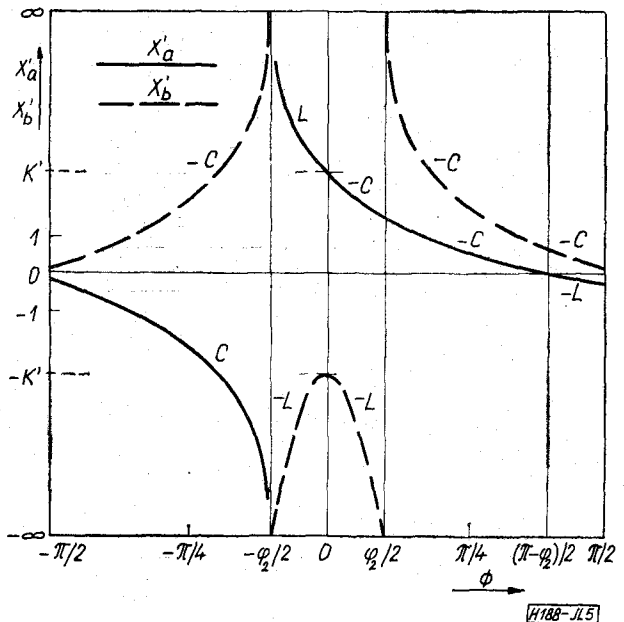
Az $X'_a(\Phi)$, $X'_b(\Phi)$ reaktanciák jellegzetes menete és jellege adott esetben az 5. ábra szerinti. A vizsgált intervallumhoz öt elvileg lehetséges megoldás tartozik. $K' \leq 1$ esetén az s_2 sajátérték fázisösszege: $\varphi_2 \approx \pi/2$. Az elvileg lehetséges megoldások száma



3. ábra. Impedancia-inverterek



4. ábra. A 3b ábrán feltüntetett inverter $X'_a(\Phi)$, $X'_b(\Phi)$ reaktanciájának jellegzetes menete és jellege $\varphi_{12}(\omega) = \pi/2$; $K'(\omega) =$ állandó előírások esetén



5. ábra. A 3b ábrán feltüntetett inverter $X'_a(\Phi)$, $X'_b(\Phi)$ reaktanciájának jellegzetes menete és jellege $\varphi_{12}(\omega) = -\pi/2$; $K'(\omega) =$ állandó előírások esetén

nem változik, de $\varphi = \pi/4$ környezetében a reaktanciák jellege $-C$; $-C$ helyett $-L$; $-L$.

Az $X'_a(\Phi)$, $X'_b(\Phi)$ reaktanciákra adott fenti megoldások elvi jelentősége abban van, hogy ezek az ideális inverter feltételi egyenleteinek megoldásai. Ezért alapul szolgálnak a széles sávú inverterek tervezéséhez. Az elvileg lehetséges megoldások közül gyakorlatilag elsősorban a $\Phi < \varphi_1/2$ intervallumba eső, $\varphi_{12}(\omega) = \pi/2$ fázistolású inverterek alkalmazhatók.

A (20)–(22) egyenletekből $\Phi = 0$ helyettesítéssel adódnak a szimmetrikus T-tag (3c ábra) inverter feltételi egyenletei. $\varphi_{12}(\omega) = \pi/2$ esetén:

$$K' = X'_b = -X'_a \quad (27)$$

és $\varphi_{12}(\omega) = -\pi/2$ esetén:

$$K' = X'_a = -X'_b \quad (28)$$

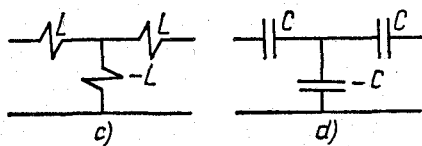
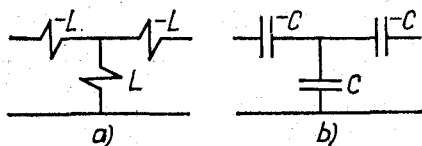
A fenti feltételi egyenleteket kielégítő kapcsolásokat a 6. ábrán tüntettük fel. A négy elvileg lehetséges megoldás közül gyakorlatilag a 6a és 6b ábra szerinti megoldások alkalmazhatók.

Ha a 6. ábrán feltüntetett szimmetrikus T-tagok sönt ágában (vagy soros ágában) a $\pm L$; $\pm C$ elemek helyett $\mp C$; $\mp L$ elemeket alkalmazunk, akkor a (27), (28) feltételi egyenleteket ω_0 frekvencián kielégítő kapcsolásokhoz jutunk. A négy elvileg lehetséges megoldás közül a gyakorlatilag is alkalmazható két megoldást a 7. ábrán tüntettük fel.

A (20)–(22) egyenletekből $X'_a = 0$, $X'_b = X'$ helyettesítéssel adódnak a 3d ábra szerinti inverter esetén érvényes feltételi egyenletek:

$$\frac{2X' + \operatorname{tg} \Phi}{1 - 2X' \operatorname{tg} \Phi} = -\operatorname{tg} \Phi \quad (25)$$

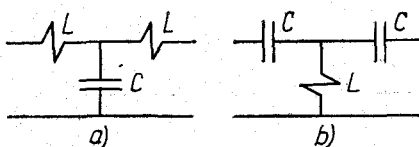
$$\operatorname{tg} \Phi = \mp K' \quad (26)$$



H188-JL6

6. ábra. $K'(\omega) = |X'_a(\omega)|$ paraméterű inverterek:

- a), d) $\varphi_{12}(\omega) = \pi/2$
- b), c) $\varphi_{12}(\omega) = -\pi/2$



H188-JL7

7. ábra. $K'(\omega_0) = |X'_a(\omega_0)|$ paraméterű inverterek:

- a) $\varphi_{12}(\omega_0) = -\pi/2$
- b) $\varphi_{12}(\omega_0) = \pi/2$

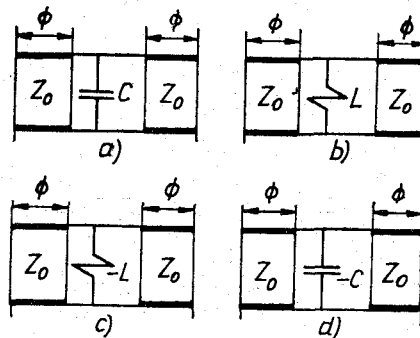
A vizsgált inverterek fázistolása frekvencia-független, ha a (25) egyenletből adódóan

$$X' = -\frac{\operatorname{tg} \Phi}{1 - \operatorname{tg}^2 \Phi} = \frac{1}{2} \operatorname{tg} 2\Phi \quad (27)$$

E feltétel teljesülése esetén az inverter változó paramétere:

$$K' = |\operatorname{tg} \Phi| \quad (28)$$

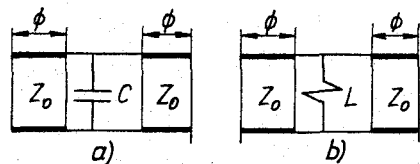
$\Phi = \pm \pi/2$ esetén $K' = \infty$. A $-\pi/2 < \Phi < \pi/2$ intervallumba eső elvileg lehetséges megoldások (8. ábra) a (27) egyenletből közvetlenül kiolvashatók. Gyakor-



H188-JL8

8. ábra. $K(\omega) = Z_0 |\operatorname{tg} \Phi|$ paraméterű inverterek:

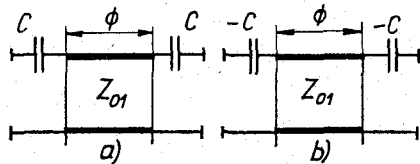
- a) $-\pi/2 < \varphi < -\pi/4$; $\varphi_{12}(\omega) = \pi/2$
- b) $-\pi/4 < \varphi < 0$; $\varphi_{12}(\omega) = \pi/2$
- c) $0 < \varphi < \pi/4$; $\varphi_{12}(\omega) = -\pi/2$
- d) $\pi/4 < \varphi < \pi/2$; $\varphi_{12}(\omega) = -\pi/2$



H188-JL9

9. ábra. $K(\omega_0) = Z_0 |\operatorname{tg} \Phi|$ paraméterű inverterek:

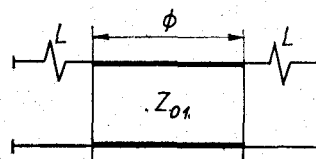
- a) $0 < \varphi < \pi/4$; $\varphi_{12}(\omega_0) = -\pi/2$
- b) $\pi/4 < \varphi < \pi/2$; $\varphi_{12}(\omega_0) = -\pi/2$



H188-JL10

10. ábra. $K(\omega) = Z_{01} |\sin \Phi|$ paraméterű inverterek:

- a) $-\pi/2 < \Phi < 0$; $\varphi_{12}(\omega) = \pi/2$
- b) $0 < \Phi < \pi/2$; $\varphi_{12}(\omega) = -\pi/2$



H188-JL11

11. ábra. $K(\omega_0) = Z_{01} |\sin \Phi|$ paraméterű inverter:

- $\varphi_{12}(\omega_0) = -\pi/2$; $0 < \varphi < \pi/2$

latilag a $\Phi < 0$ intervallumba eső megoldások alkalmazhatók. Kedvezőnek a 8b ábrán látható megoldás nevezhető, különösen $K' \ll 1$ esetén. Az inverter feltéti egyenletét ω_0 frekvencián kielégítő négy elvileg lehetséges megoldás közül a gyakorlatilag is alkalmazható két megoldást a 9. ábrán tüntettük fel.

Megjegyezzük, hogy a szakirodalomban [8] a 8c ábra szerinti megoldást (és duálját) is kedvezőnek veszik. Ez az állítás azon a tévedésen alapszik, hogy az $X'/0 < \Phi < \pi/4 < 0$ reaktanciának pozitív kapacitív jelleget tulajdonítanak. Tévesen adja meg [8] a 6a és 6b, a 8b és 8c ábrán feltüntetett hálózatok és ezek duáljának fázistolását is.

A fentiekben analizált hálózatokban a koncentrált paraméterű elemek a $T-T$ szimmetria síkban helyezkedtek el. Az analízis végeredményei alapján mondható, hogy az így felépített hálózatokkal az inverter — különböző típusú tápvonalakban — különböző módon realizálható. Abban az esetben, amikor a koncentrált paraméterű elemek a távvezeték szakasz végződéséhez kapcsolódnak, az inverter realizálhatósága rendkívül korlátozott. Részben ennek illusztrálására közöljük a 3f ábrán látható hálózat analízisének eredményeit.

A $\varphi_{12}(\omega) = \pm \pi/2$ fázistolás feltétele a 3f ábrán látható hálózat esetén az, hogy

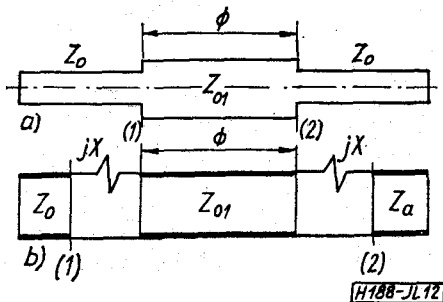
$$X' = Z'_{01} \operatorname{ctg} \Phi \quad (29)$$

legyen. E feltétel teljesülése esetén az inverter változó paramétere:

$$K' = \frac{Z'_{01}}{|\sin \Phi|} \quad (30)$$

Az elvileg lehetséges megoldásokat a 10. ábrán tüntettük fel. A 11. ábrán a $K'(\omega_0)$ paraméterű fizikailag is realizálható megoldás látható.

A 3e ábrán látható $\lambda_{g0}/4$ -es távvezeték szakasz a $K = Z'_{01}$ paraméterű inverter elvi megoldása. Érvényes azokban az esetekben, amikor a tápvonal diszkontinuitásoknál fellépő mezőtörzslások hatása elhanyagolható. Ellenkező esetben a helyettesítő kép a 3f ábrán látható hálózat, vagy ennek duálja. Például szalag tápvonalas realizáció esetén a mezőtörzslások hatását soros kapcsolású, induktív jellegű reaktanciák írják le (12. ábra). Az előírt ω_0 frekvencián adott esetben is érvényes (29), (30) feltéti egyenletek alapján, a távvezeték szakasz hosszának és hullámellenállásának megfelelő megválasztásával a mezőtörzslások hatása kompenzálható. A kompenzált



12. ábra. a) Az inverterek szalag-tápvonalas mikrohullámú realizációja $\lambda/4$ -es távvezeték szakasszal; b) helyettesítő képe

inverter esetén:

$$\Phi = \arccos \frac{X'}{K'} \quad (31)$$

$$Z'_{01} = K' \sin \Phi \quad (32)$$

Mivel X' pozitív, $\Phi(\omega_0) < \pi/2$ és $Z'_{01} < K'$.

Admittancia-inverterek

A mikrohullámú admittancia-inverter realizációkat általában a 13. ábrán feltüntetett hálózatok valamelyikével helyettesítjük. A következőkben röviden összefoglaljuk az adott hálózatok analízisének menetét és végeredményeit.

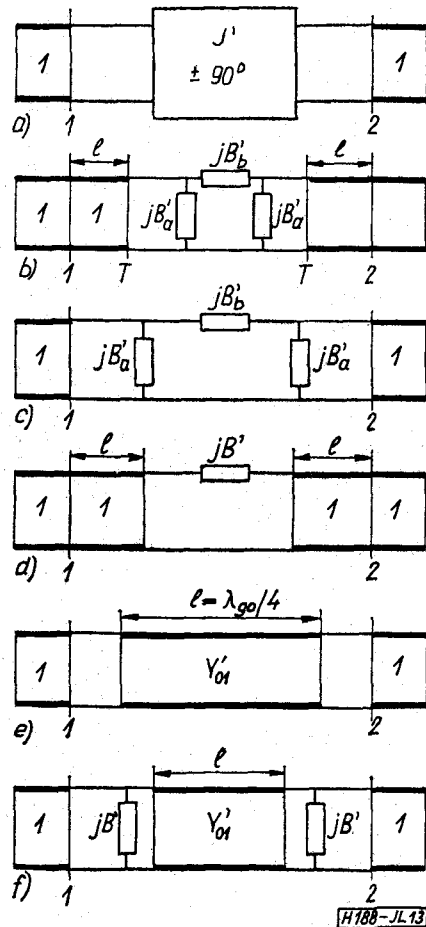
A távvezeték szakaszokkal bővített szimmetrikus π -tag (3b ábra) normalizált admittancia-mátrixának sajátértékei:

$$y'_1 = j \frac{B'_a + \operatorname{tg} \Phi}{1 - B'_a \operatorname{tg} \Phi} = jB'_1 \quad (33)$$

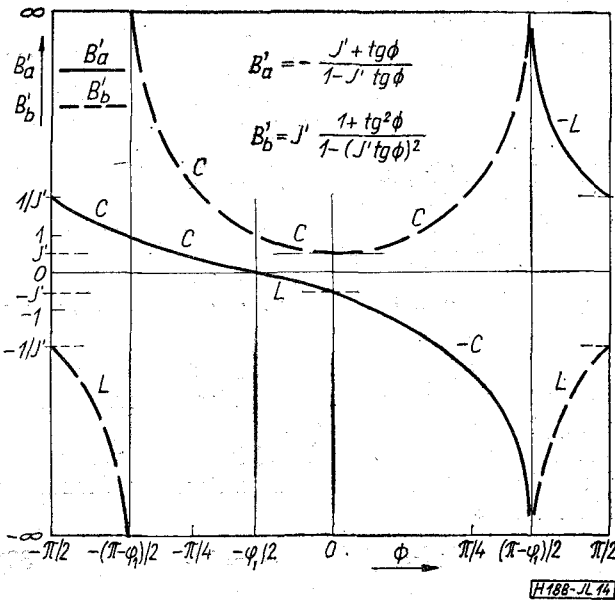
$$y'_2 = j \frac{(B'_a + 2B'_b) + \operatorname{tg} \Phi}{1 - (B'_a + 2B'_b) \operatorname{tg} \Phi} = jB'_2 \quad (34)$$

Behelyettesítve B'_1, B'_2 értékét az admittancia-inverter (14) feltéti egyenletébe, a

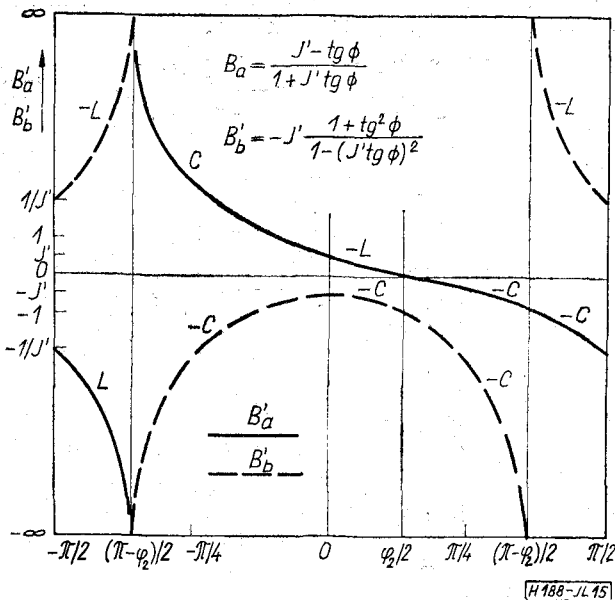
$$\frac{(B'_a + 2B'_b) + \operatorname{tg} \Phi}{1 - (B'_a + 2B'_b) \operatorname{tg} \Phi} = \frac{B'_a + \operatorname{tg} \Phi}{1 - B'_a \operatorname{tg} \Phi} \quad (35)$$



13. ábra. Admittancia inverterek



14. ábra. A 12b ábrán feltüntetett inverter $B'_a(\Phi)$, $B'_b(\Phi)$ szuszceptanciáinak jellegzetes menete és jellege $\varphi_{12}(\omega) = \pi/2$; $J'(\omega) = \text{állandó}$ előírások esetén



15. ábra. A 12b ábrán feltüntetett inverter $B'_a(\Phi)$, $B'_b(\Phi)$ szuszceptanciáinak jellegzetes menete és jellege $\varphi_{12}(\omega) = -\pi/2$; $J'(\omega) = \text{állandó}$ előírások esetén

összefüggésre jutunk. A (11) és (33), valamint a (12) és (34) egyenletek alapján:

$$\frac{B'_a + tg \Phi}{1 - B'_a tg \Phi} = \mp J' \quad (36)$$

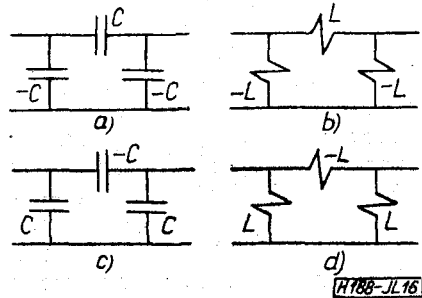
$$\frac{(B'_a + 2B'_b) + tg \Phi}{1 - (B'_a + 2B'_b) tg \Phi} = \pm J' \quad (37)$$

A (20)–(22) feltéti egyenletekben X'_a , X'_b , K' helyett sorrendben B'_a , B'_b , J' helyettesítésekkel elve a (35)–(37) feltéti egyenletekkel adott összefüggésekre jutunk. A vizsgált admittancia-inverterek az előző pontban analizált impedancia-inverterek duáljai. Ezért a továbbiakban felvesszük az impedan-

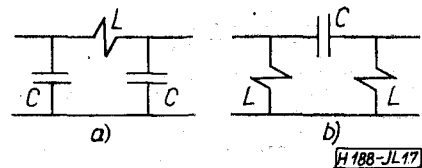
cia-inverter elvileg lehetséges megoldásainak duálját és a megfelelő analitikai összefüggésekben a fenti helyettesítéseket alkalmazzuk.

Itt jegyezzük meg, hogy valamely impedancia-inverterrel kapcsolatban tett megjegyzések (alkalmazhatóság, kedvező megoldás) változatlanul érvényesek a duáljára is.

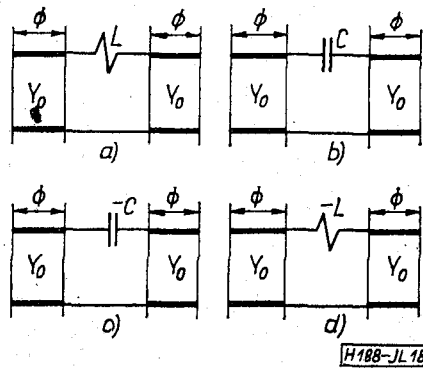
A távvezeték szakaszokkal bővített szimmetrikus π -tag $B'_a(\Phi)$, $B'_b(\Phi)$ szuszceptanciáinak jellegzetes



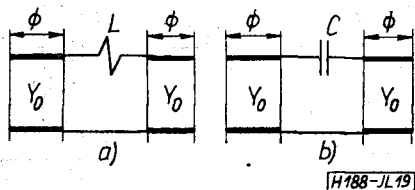
16. ábra. $J'(\omega) = |B'_a(\omega)|$ paraméterű inverterek: a), d) $\varphi_{12}(\omega) = \pi/2$; b), c) $\varphi_{12}(\omega) = -\pi/2$



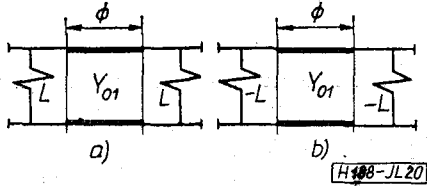
17. ábra. $J'(\omega_0) = |B'_a(\omega_0)|$ paraméterű inverterek: a) $\varphi_{12}(\omega_0) = -\pi/2$; b) $\varphi_{12}(\omega_0) = \pi/2$



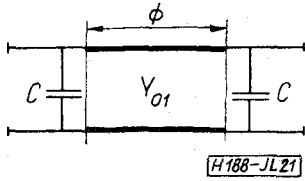
18. ábra. $J(\omega) = Y_0 |tg \Phi|$ paraméterű inverterek: a) $-\pi/2 < \Phi < -\pi/4$; $\varphi_{12}(\omega) = \pi/2$; b) $-\pi/4 < \Phi < \pi/2$; $\varphi_{12}(\omega) = \pi/2$; c) $0 < \Phi < \pi/4$; $\varphi_{12}(\omega) = -\pi/2$; d) $\pi/4 < \Phi < \pi/2$; $\varphi_{12}(\omega) = -\pi/2$



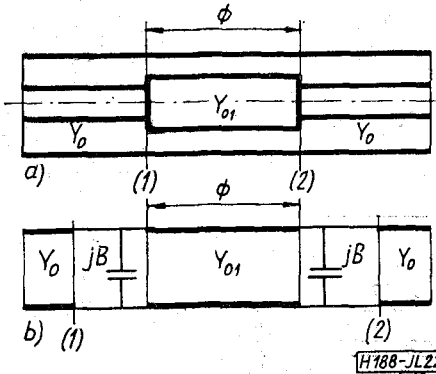
19. ábra. $J(\omega_0) = Y_0 |tg \Phi|$ paraméterű inverterek: a) $0 < \Phi < \pi/4$; $\varphi_{12}(\omega_0) = -\pi/2$; b) $\pi/4 < \Phi < \pi/2$; $\varphi_{12}(\omega_0) = -\pi/2$



20. ábra. $J(\omega) = Y_{01}/|\sin \Phi|$ paraméterű inverterek:
 a) $-\pi/2 < \Phi < 0$; $\varphi_{12}(\omega) = \pi/2$
 b) $0 < \Phi < \pi/2$; $\varphi_{12}(\omega) = -\pi/2$



21. ábra. $J(\omega_0) = Y_{01}/|\sin \Phi|$ paraméterű inverter:
 $\varphi_{12}(\omega_0) = -\pi/2$, $0 < \Phi < \pi/2$



22. ábra. a) az inverter koaxiális tápvonalas mikrohullámú realizációja $\lambda/4$ -es távvezeték szakasszal; b) helyettesítő képe

menete és jellege, $\varphi_{12}(\omega) = \pm \pi/2$; $J'(\omega) = \text{állandó}$ előírások esetén, a 14., illetve 15. ábra szerinti.

A szimmetrikus π -tag admittancia inverterek a 16. és a 17. ábrákon láthatók.

A 13d ábrán látható admittancia inverter feltételi egyenlete:

$$B' = -\frac{1}{2} \operatorname{tg} 2\Phi \quad (36)$$

és változó paramétere:

$$J' = |\operatorname{tg} \Phi| \quad (37)$$

A megoldásokat a 18. és a 19. ábrán tüntettük fel. A 13f ábra szerinti admittancia-inverter feltételi egyenlete:

$$B'_1 = Y'_{01} \operatorname{ctg} \Phi \quad (38)$$

és változó paramétere

$$J' = \frac{Y'_{01}}{\sin \Phi} \quad (39)$$

A megoldások a 20. és a 21. ábrán láthatók.

Befejezésül (példaképpen) az inverter $\lambda_{g0}/4$ -es távvezeték szakasz inverter realizációját koaxiális tápvonalas kivitel (22. ábra) esetén analizáljuk. Ebben az esetben a diszkontinuitásoknál fellépő mezőtorzulások hatását az ugráskapacitások söntszuszceptanciája írja le. A realizáció helyettesítő képe a 13f ábrán látható hálózat. A (38), (39) egyenletek megoldásaként, a kompenzált inverter esetén:

$$\Phi = \arccos \frac{B'}{J'} \quad (40)$$

$$Y'_{01} = J' \sin \Phi. \quad (41)$$

Mivel B' pozitív, $\Phi(\omega_0) < \pi/2$ és $Y'_{01} < J'$.

IRODALOM

- [1] W. L. Pritchard: Quarter Wave Coupled Filters. *J. Appl. Phys.* Vol. 18, Október 1947. pp. 862–872.
- [2] R. M. Fano and A. W. Lawson: Microwave Filters Using Quarter-Wave Couplings. *Proc. IRE*, Vol. 35.
- [3] W. W. Mumford: Maximally Flat Filters in Waveguides. *Bell System Tech. J.* Vol. 27, Október 1948. pp. 684–714.
- [4] S. B. Cohn: Direct-Coupled-Resonator Filters *Proc. IRE*. Vol. 45, February 1957. pp. 187–196.
- [5] G. L. Matthaei: Direct-Coupled-Band-Pass-Filters with $\lambda_0/4$ Resonators. *IRE National Convention Record*, Part 1. 1958. pp. 98–111.
- [6] G. L. Matthaei: Comb-Line Band-Pass Filters of Narrow or Moderate Bandwidth. *The Microwave Journal*, Vol. 6, August. 1963. pp. 82–91.
- [7] Dr. Csurgay A. – Markó Sz.: Mikrohullámú passzív hálózatok. Mérnöktovábbképző Intézet, 1965. 252–274. old.
- [8] George L. Matthaei, Leo Young, E. M. T. Jones: *Microwave Filters, Impedance-Matching networks and Coupling Structures*. McGraw-Hill Book Co. 1964.
- [9] Dr. Jachimovits László: Parametrikus erősítők jelfrekvenciás körének hangolása. *Híradástechnika*, XXII., évf. 2. sz. 33–39. old.
- [10] Dr. Jachimovits László: Mikrohullámú reciprok és reaktáns kétkapus passzív szerkezet grafikus mátrixanalízise. *Híradástechnika*, XXIII. évf.

Lapunk példányonként megvásárolható:

V., Váci utca 10. és

V., Bajcsy-Zsilinszky út 76.

alatti Hírlapboltokban.